

## DSP 数字信号处理

1. 对于线性第一种理解方式 (LTI).

信号是一种函数，信号进系统后是一种函数变换。

$$y[n] = T\{x[n]\}$$

$$y[n] = \sum_{k=-\infty}^{\infty} x[k] \delta[n-k]$$

$$\text{系数展开 } \Rightarrow \sum_{k=-\infty}^{\infty} x[k] T[\delta[n-k]]$$

$$\Rightarrow \sum_{k=-\infty}^{\infty} x[k] h[n-k] = x[n] * h[n]$$

可见，系数与 LTI 系统相关。

2. 线性性质的判断 (性质是与信号观察有关的特点，与信号无关)。

线性性质，必然可以从信号入手，讨论信号的判别标准？

$h[n] = T\{f[n]\}$ ，意味对  $f[n]$  基本的坐标变换或令其为冲激响应。

可见，信号是對一组基的作用而齐整对一组信号的作用，信号的性质完全由其冲激响应决定。

从  $h[n]$  入手判断因果性和稳定性 (BIBO)。

$$h[n] = 0, n < 0 \Rightarrow \text{因果}$$

$$\sum_{k=-\infty}^{\infty} |h[k]| < \infty \Rightarrow \text{稳定}$$

3. 特征向量和变换的引入。

沿着类推。

$$y[n] = x[n] * h[n] = \sum_{k=-\infty}^{\infty} x[k] h[n-k]$$

计算系数，一个复杂的过过程，但我们有它的特征向量， $e^{jwn}$ . ( $x[n] = e^{jwn}$  假设)

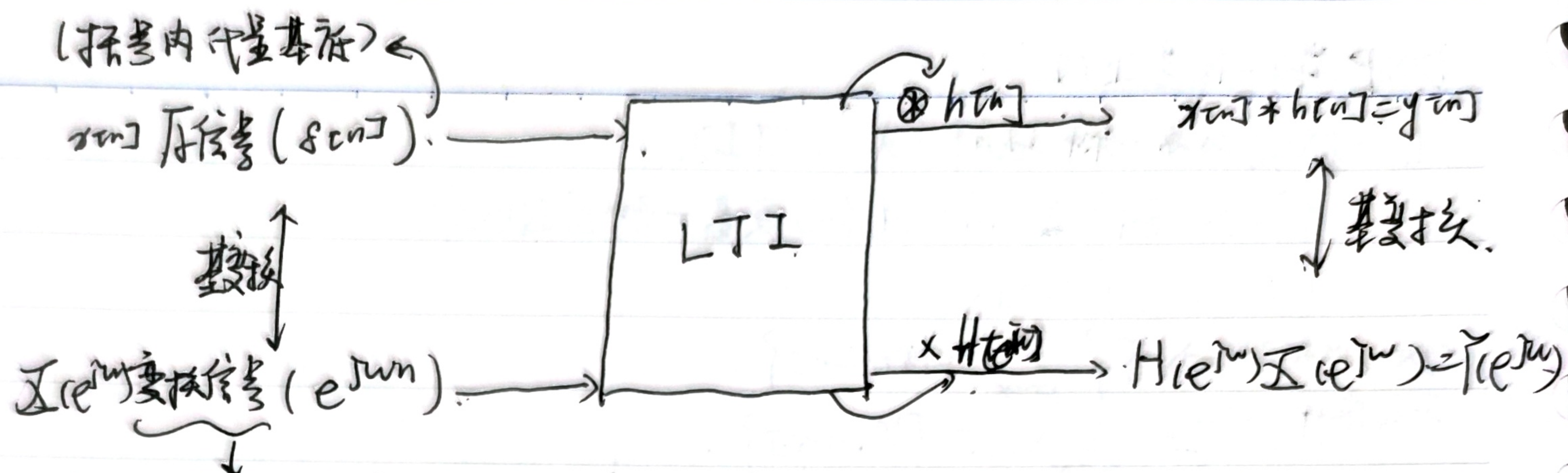
$$y[n] = e^{jwn} * h[n] = \sum_{k=-\infty}^{\infty} h[n-k] e^{jwn} \cdot e^{jwk} = e^{jwn} \cdot \left( \sum_{k=-\infty}^{\infty} h[n-k] e^{-jwk} \right)$$

$= H(e^{jw}) \cdot e^{jwn}$  → [这个步骤是  $e^{jwn}$ ，但是仍在  $s[n]$  基上，所以求出的  $y[n]$  在  $s[n]$  基上]

牛顿(特征)向量是与信号的卷积  $\rightarrow$  10，即进入系统仅仅相当于乘上一个常数。

那么，通过  $s[n] \rightarrow e^{jwn}$  的基变换，便可以使得信号进入系统就相当于一个常数，而且这个常数与信号的基权重(基权值)无关，仅仅与基和  $h[n]$  有关。如此，常数而求，那么只需要基变换系数。

这就将引入变换的原因，让系数计算更加简单，如下图所示。



复频信号具有丰富的物理意义，我们称其为频域信号， $e^{jw n}$  也是时域基底，对应的  $s[n]$  是时域基底。

#### 4. 对于 N 种不同序列为 DTFT.

a) 序列绝对收敛  $\rightarrow$  脉冲有限且连续

可以相互计算

b) 序列不绝对收敛但是平方可积。  $\rightarrow$  不一致收敛。

例如：理想低通滤波器，不相互通出只能由一个窗口外的脉冲收敛，无法计算。

c) 某些序列不绝对收敛也不平方可积但可以通过意义使其有意义。

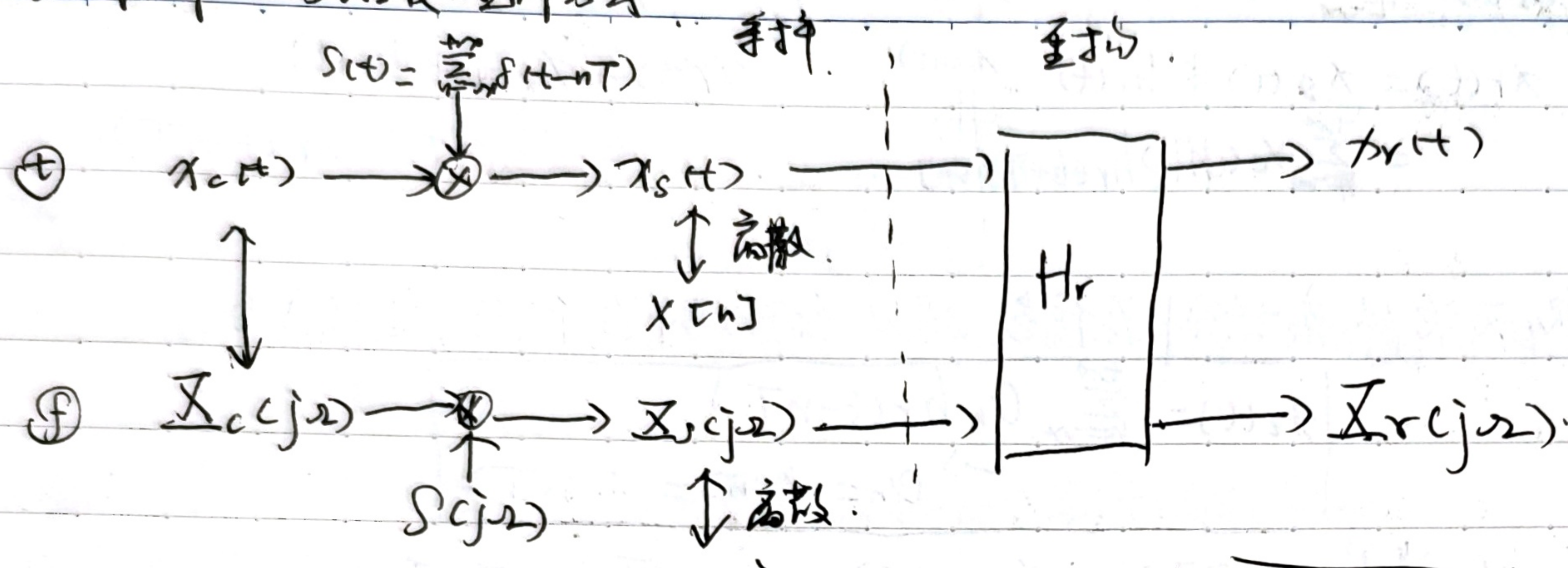
$$\begin{array}{c} \xleftrightarrow{\text{DTFT}} \sum_{n=-\infty}^{\infty} 2\pi \delta(w + 2\pi n) \\ e^{jw n} \xleftrightarrow{\text{DTFT}} \cancel{\sum_{n=-\infty}^{\infty} 2\pi \delta(w - n + 2\pi r)} \end{array}$$

所以有主谱部分

$e^{jw n} \xrightarrow{\text{DTFT}} 2\pi \delta(w - w_0 + 2\pi r)$  为主量，通过其上  $\cos, \sin$  等函数而变换。

#### 5. 周期信号的变换。

## 6. 采样与多维及矩阵表示



A. <从时域上看>

$$x_s(t) = x_c(t) * s(t) = \sum_{n=-\infty}^{\infty} x_c(nT) \delta(t-nT)$$

B. <从频域上看>

$$S(j\omega) = \frac{2\pi}{T} \sum_{k=-\infty}^{\infty} \delta(\omega - k\omega_s), \quad \omega_s = \frac{2\pi}{T}$$

$$X_s(j\omega) = X_c(j\omega) * S(j\omega) \cdot \frac{1}{\Delta\omega}$$

$$= \frac{1}{\Delta\omega} \sum_{k=-\infty}^{\infty} X_c(j\omega - k\omega_s)$$

仍为连续信号，但是只在  $t=nT$   
上取  $x_c(t)$  - 挑的值(采样)

信号表示  
采样  $\rightarrow$  周期延拓  
Spectrum  
shifting

$\omega_s T \delta(\omega - \frac{k}{\omega_s})$ , 对  $X_c(j\omega)$  在整个  
域上进行周期性延拓

C. <从离散到离散>

$$\text{假设最后得到 } x[n], \quad X(e^{j\omega}) = \sum_{n=-\infty}^{\infty} x[n] e^{-jn\omega} = \sum_{n=-\infty}^{\infty} x[nT] e^{-jn\omega n}$$

$$\text{圆看 } X_s(j\omega), \quad X_s(j\omega) = \sum_{n=-\infty}^{\infty} x[nT] e^{-jn\omega n}$$

可见  $X(e^{j\omega})$  与  $X_s(j\omega)$  唯一不同为  $e^{-jn\omega n}$  和  $e^{-jn\omega n}$ , 对  $X_s(j\omega)$   
进行  $\omega = \frac{\pi}{T}$  的尺度变换便可以得到  $X(e^{j\omega})$ , 从而得到  $x[n]$ .

$\omega_s = \frac{2\pi}{T}, \quad \omega_s = \frac{2\pi}{T} \cdot T = 2\pi, \quad \omega_s = \pi$ . 可见, 这种尺度变换, 在频域上就是  
频率标准化, 在时域上从  $nT$  到连续的  $n$ , 也是时域标准化.

D. <采样的重构> ( $x_s \rightarrow x_c$ ), ( $x[n] \rightarrow f_s(t) \rightarrow f_c(t)$ )

将  $x_s(t)$  再通过一个低通滤波器, 去掉延拓的周期信号, 使之得到有限  
带宽信号  $x_c(t)$ ;  $x_c(t) = f_c(t)$ .

这里采用并行形式分析.

$$x_s(t) = \sum_{n=-\infty}^{+\infty} x_c(nT) \delta(t-nT), \quad x_s(t) = \sum_{n=-\infty}^{+\infty} x[n] \delta(t-nT).$$

$$x_r(t) = x_s(t) * h_r(t) \quad (\text{conv})$$

$$= \sum_{n=-\infty}^{+\infty} x_c(nT) h_r(t-nT) \quad (\text{FT})$$

$$x_r(t) = x_s(t) * h_r(t)$$

$$= \sum_{n=-\infty}^{+\infty} x[n] h_r(t-nT).$$

可见，无论从离散到连续信号，还是从  $x_s(t)$  到连续信号，其形式为：

$$\left| \begin{aligned} x_r(t) &= \sum_{n=-\infty}^{+\infty} a_n h_r(t-nT) \\ a_n &= x[n] = x_c(nT) \end{aligned} \right|$$

可以从样本  $P_m$  反推出  $x_r(mT) = x_c(mT)$ ，对于  $x_c$  在取样点处值完全相等，由上式框内表达式，可见，取样，无非就是对  $x_c(t)$  以  $h_r(t-nT)$  [其是 sinc 函数在原点进行展开，结合上述全部推导，我们可以推出取样三个性质与理解。

一、一个域的周期延拓  $\leftrightarrow$  一个域的取样。

二、假设已知  $a_n$  ( $x_c(t)$  的离散值)，对  $x_c(t)$  进行以  $h_r(t)$  为窗的抽样。

三、已知  $x_c(t)$ ，对  $x_c(t)$  进行以  $h_r(t-nT)$  为基底的展开， $\leftarrow$  逆过程。

附 <抽样定理> 采样就是周期延拓。

令  $G(t) = \sum_{k=-\infty}^{+\infty} f(t+kT)$ ，有解  $G(t) = G(t+T)$ ，则  $G(t)$  是延拓的  $f(t)$ 。

对  $G(t)$  进行 FS 展开， $G(t) = \sum_{n=-\infty}^{+\infty} \underbrace{f(t+nT)}_{\text{窗口}} = \sum_{n=-\infty}^{+\infty} f_n e^{j \frac{2\pi n}{T} t}$ ，即有：

$$G(t) = \sum_{n=-\infty}^{+\infty} a_n e^{j \frac{2\pi n}{T} t}$$

$$\text{其中, } a_n = \frac{1}{T} \int_T G(t) e^{-j \frac{2\pi n}{T} t} dt$$

$$= \frac{1}{T} \int_{-\frac{T}{2}}^{\frac{T}{2}} f(t+kT) e^{-j \frac{2\pi n}{T} t} dt = \frac{1}{T} \int_{-\frac{T}{2}}^{\frac{T}{2}} f(t+kT) e^{-j \frac{2\pi n}{T} t} dt.$$

$$\stackrel{t'=t+kT}{\Rightarrow} \frac{1}{T} \left( \sum_{k=-\infty}^{+\infty} \int_{-\frac{T}{2}+kT}^{\frac{T}{2}+kT} f(t') e^{-j \frac{2\pi n}{T} t'} dt' \right)$$

将所有区间拼接起来，就是积分。

$$= \frac{1}{T} \int_{-\infty}^{+\infty} f(t) e^{-j \frac{2\pi n}{T} t} dt$$

Fourier Transformation

$$= \frac{1}{T} F(j \frac{2\pi n}{T})$$

那么就有  $A(t) = \frac{1}{T} \sum_n x_n e^{j \frac{2\pi n}{T} t} = \frac{1}{T} F(j \frac{2\pi n}{T}) e^{j \frac{2\pi n}{T} t}$

$\uparrow FT$ .

$$A(j_2) = \sum_n \frac{2\pi}{T} F(j \frac{2\pi n}{T}) \delta(j_2 - \frac{2\pi n}{T})$$

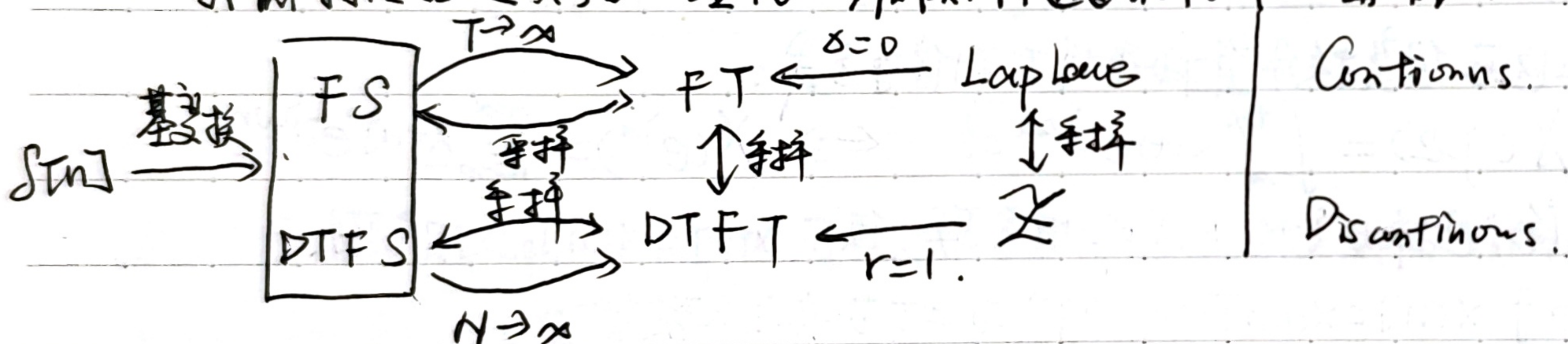
可见,  $A(t)$  是经过周期延拓的  $f(t)$ .

$A(j_2)$  是布在乘以  $F(j \frac{2\pi n}{T})$ , 并且只在  $j_2 = \frac{2\pi n}{T}$  上有值, 即对  $F(j_2)$  的采样.

生 FT 而对称性, 1 个域的周期延拓  $\leftrightarrow$  另一个域的采样.

## 7. 3 种常见变换的联系.

我称之为“大统一理论”, 五类 DTFT 通过各种变换, 互相出入.



(其实所有变换的本质都是基变换, 除非就是换了一组特征基)

(这里上图“基变换”指 FS 和 DTFs 而推导是基于[某些应用或变换] )

为了大变换更加贯通, FS, DTFs 将从正常基变换推导而出,

a) FS, DTFs  $\longleftrightarrow$  FT, DTFT.

i) 变换(指丁级变换)对非周期信号进行基变换, 也就是  $T \rightarrow \infty$  而周期信号的变换, 从子空间(  $\sin, \cos$  为基)(即 FS, DTFs )可直接推导 FT, DTFT.

ii) 但是这种方式的解释物理性质看不出来, 针对一种特殊的情况, 我们可以看出其内在联系.

(以 FT 为例), 选取变换的信号为周期信号  $X(t) = X(t+T)$ .

回想起《信号与系统》书, 周期信号 FT,  $X(j_2) = \sum_k 2\pi X[k] \delta(j_2 - kT)$ . 似乎显露出原来 FT 反变换自洽的, 实则不然, 我们通过观察, 甚至可以借此系统来表示关系.

$$\text{观察基底: } FS \langle e^{j\omega_0 t} \rangle \longleftrightarrow FT \langle e^{j\omega t} \rangle$$

$\langle k\omega_0, \omega \rangle$ , 这能让我们联想到什么, 等待!!!

如果  $e^{j\omega_0 t}$  和  $e^{jk\omega_0 t}$  都是同一组信号,  $e^{jk\omega_0 t}$  显然是  $e^{j\omega_0 t}$  的一组等价! 一个域的等价是另一个域的周期延拓, 观察.

$$X(j\omega) = 2\pi \sum_{k=-\infty}^{\infty} X(k\omega) \delta(\omega - k\omega_0).$$

这真是频域上的周期延拓, 但这说明了这种等价变换, 但是, 它里面的等价又不同于信号的等价, 我暂时没有推导出其中的关系, FS 域面应该有一个隐藏的函数, 使  $X(k\omega)$  是它的等价

DTFT 和 DTFs 关于  $\omega$  对称.

b)  $FJ \leftrightarrow DTFT$ ,

我在这两组变换中直接等价变换的推导方式.

$$X(j\omega) = \int_{-\infty}^{+\infty} x(t) e^{-j\omega t} dt \leftrightarrow X(e^{jw}) = \sum_{n=-\infty}^{+\infty} x[n] e^{-jwn}.$$

结论: 这样等价, 以等价相类似, 使  $x[n] = x(nT_s)$  相类似.

由  $x[n] = x(nT_s)$ , 它们的 FT 也有类似.

$$\text{证: } X(j\omega) = \int_{-\infty}^{+\infty} x(t) e^{-j\omega t} dt \quad (\text{这里 } x(t) \text{ 为 } x_s(t))$$

$$= \int_{-\infty}^{+\infty} \sum_n x(nT_s) \delta(t-nT_s) e^{-j\omega t} dt.$$

$$= \sum_n x(nT_s) \int_{-\infty}^{+\infty} e^{jn\omega t} \delta(t-nT_s) dt$$

$$\xrightarrow{x[n]=x(nT_s)} \sum_n x[n] e^{-jn\omega n} \xrightarrow{w=j\omega T_s} \sum_n x[n] e^{-jwn} = X(e^{jw}).$$

$$\text{证: } x(t) = \sum_n x(nT_s) \delta(t-nT) = \sum_n x(nT_s) = x[n].$$

$$x(nT_s) = \frac{1}{2\pi} \int_{-\infty}^{+\infty} X(j\omega) e^{jn\omega T_s} d\omega,$$

$X(e^{jw}) \rightarrow X(j\omega)$  为信号的等价的等价.

$$X(j\omega) = X(e^{jw}) H(j\omega) T, \quad H(j\omega) = \begin{cases} 1, & |w| \leq \pi/T, \\ 0, & \text{otherwise.} \end{cases}$$

$$\text{代入: } x(nT_s) = \frac{1}{2\pi} \int_{-\infty}^{+\infty} X(e^{jw}) H(j\omega) T e^{jn\omega T_s} dw.$$

$$= \frac{1}{2\pi} \int_{-\pi/T}^{\pi/T} T X(e^{jw}) e^{jn\omega T_s} dw.$$

$$\xrightarrow{w=j\omega T_s} \frac{1}{2\pi} \int_{-\pi}^{\pi} X(e^{jw}) e^{jn\omega T_s} dw.$$

这样, 频域等价已经, 我们将 FT 和 DTFT 关系打直.

c)  $Z \leftrightarrow \text{Laplace}$

$$X(s) = \int_{-\infty}^{+\infty} x(t) e^{-st} dt$$

$$\Rightarrow X_{(c, n)} = \int_{-\infty}^{+\infty} x(t) e^{-st} e^{-j\omega t} dt$$

$\downarrow$  FFT  $\leftrightarrow$  DTFT 基本一致，考虑  $X_{(c, n)}$  为 Laplace 变换。

$$X_{(c, n)} = \int_{-\infty}^{+\infty} x(cnTs) e^{-snTs} e^{-jn\omega Ts} dt$$

$$= \int_{-\infty}^{+\infty} \bar{x}(t-nTs) s(t-nTs) e^{-snTs} e^{-jn\omega Ts} dt$$

$$= \sum_n x_{(c, n)} \int_{-\infty}^{+\infty} e^{-snTs} e^{-jn\omega Ts} s(t-nTs) dt$$

$$= \sum_n x_{(c, n)} e^{-snTs} e^{-jn\omega Ts}$$

$$= \sum_n x_{(c, n)} e^{-(s+j\omega)nTs}$$

$$= \sum_n x[n] e^{-snTs} \leftrightarrow \boxed{\text{Z} = \sum_n x[n] z^{-n}}$$

$$e^{-snTs} = z^{-n} \Rightarrow z = e^{-sTs}$$

通过采样过程，我们又将 Laplace 变换与 DTFT 联系起来，FT, DTFT 与 Laplace 变换在基带幅度为 1 时的特殊情况。

上述分析，我们尽量少的使用 Z 变换，仅从采样过程，对这种基带，进行了物理意义上的联系。

## 8. 从 DFS 到 DFT. 3

为了这里推导和公式的统一性（想以前人定义时也是如此），虽然 DFS 和 DTFS 不是一个东西，但是 DFS 的分析和综合公式如下：

$$\tilde{X}[k] = \sum_{n=0}^{N-1} x[n] e^{-j\frac{2\pi}{N} kn} \xrightarrow{W_N = e^{-j\frac{2\pi}{N} kN}} \sum_{n=0}^{N-1} x[n] \tilde{w}_k^n$$

$$x[n] = \frac{1}{N} \sum_{k=0}^{N-1} \tilde{X}[k] e^{j\frac{2\pi}{N} kn} \xrightarrow{\text{反变换}} \sum_{k=0}^{N-1} \tilde{X}[k] w_k^{-n}$$

因为  $w_k = e^{-j\frac{2\pi}{N} k}$ ，使得  $\tilde{X}[k]$  DFS 变换公式和 DTFS 变换公式一致，理解这点可以知道，DFS 是关注于频域的变换，所以这种表示更频域方便理解。

### A. DFS 与 DTFT 的关系

考虑到 DFS 强制纳入 DTFT 的框架 便得

$$\tilde{X}(e^{jw}) = \frac{1}{N} \sum_{k=0}^{N-1} \tilde{X}[k] e^{j(w - \frac{2\pi k}{N})}$$

这样再变换回来有  $\tilde{x}[n] = \frac{1}{N} \sum_{k=0}^{N-1} X[k] e^{\frac{j2\pi}{N} kn}$ , 就好像是 inverse-DFT.

回顾前面的知识, 根据一个例子来揭示更细致的关系.

$\tilde{x}[n] = \sum_{k=0}^{N-1} f[n-kN]$ , ~~其中~~  $x[n]$  为有限长序列.

$$\tilde{x}[n] = x[n] * \tilde{f}[n] = \sum_{k=0}^{N-1} x[n-kN].$$

$$DFS \uparrow \rightarrow \tilde{X}[k] = X[k] \tilde{f}[k]$$

$$\tilde{X}(e^{jw}) = X(e^{jw}) P(e^{jw}) = \frac{2\pi}{N} \sum_{k=0}^{N-1} X(e^{\frac{j2\pi}{N} k}) s(w - \frac{k}{N}).$$

那么  $\tilde{X}[k] = X(e^{\frac{j2\pi}{N} k}) = X(e^{jw})|_{w=\frac{k}{N}}$ .

由此  $\tilde{x}[n] \xrightarrow{DFT} X(e^{jw})|_{w=\frac{n}{N}}, 即$

|频域( $\frac{n}{N}$ )采样  $\leftrightarrow$  时间( $n$ )周期延拓|.

课本 8.3, 8.4 两个  
例子都有意义(互同).

### B. DFS $\rightarrow$ DFT 及 DTFT.

推倒本色 DFT 需考虑实际, 存储器不可能存储无限长序列, 所以将 DFS 中有用的序列表出, 令 DFT 仅仅在  $[0, N-1]$  区间内的 DFS, 不是  $f$  域还是  $\omega$  域,  $[0, N-1]$  之外皆为 0.

课本上的说法很好(加以个人理解).

$\nwarrow$  DFT 实际上用周期信号表示有限长序列.

$\nwarrow$  DFT 实际上用周期  $f$  域信号表示有限长  $f$  域信号.

$\nwarrow$  DFT 实际上就是 DFS 强制取区间, 只是为了解决, DFT 无周期, 却

又时刻不包含周期性.

另外, 同上世纪的一些教科书固有运动一般, 未消除根本矛盾.

这样来看 DTFT 的关系更清晰了, 如果说(其实就差说),

DFT 是 DTFT 以  $\frac{N}{2}$  为采样( $f$  域).

DFS 是 DFT 的周期延拓, 是 DTFT 的采样而不存在延拓.(仅延拓) DTFT

无任何意义的一句话, 只是为了解 logic 而说的一句话.

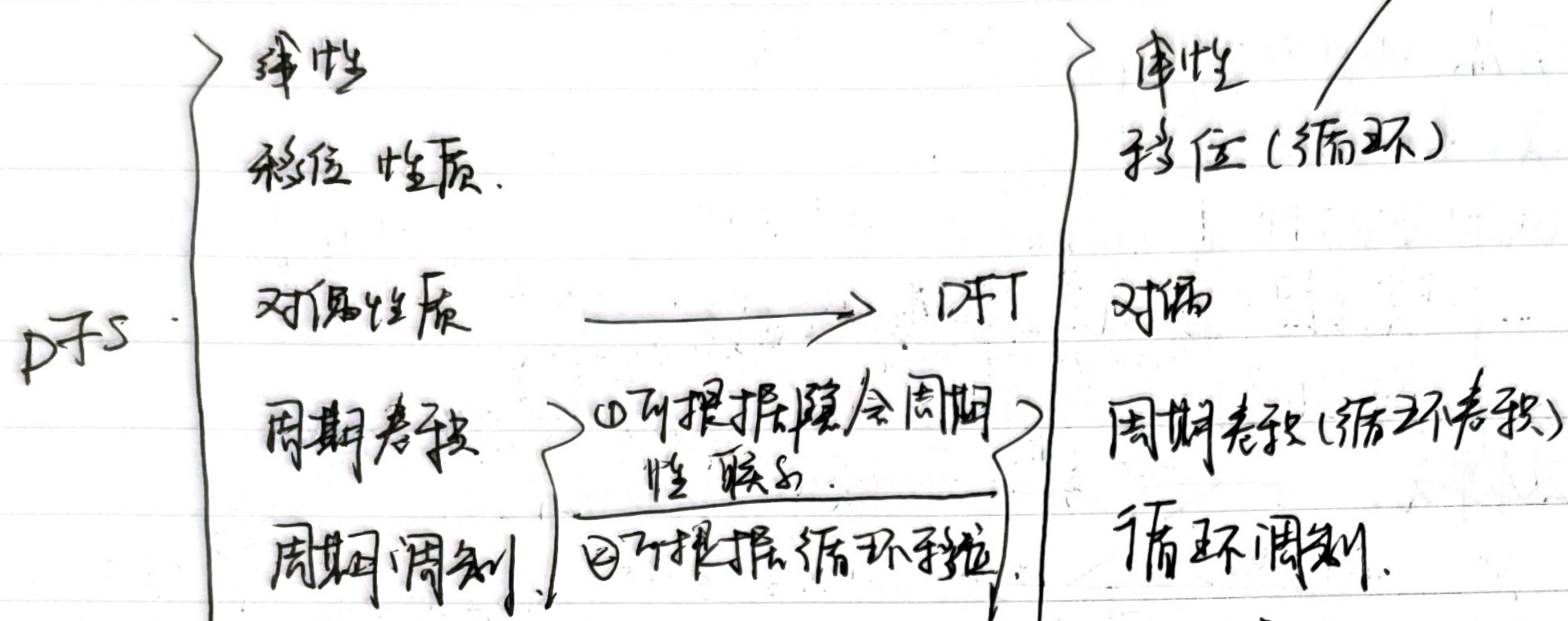
### C. DFS 及 DFT 的性质.

从 B Section 看出, DFT 不是什么, 而是 DFS 的强制取区间, 所以

我认为, DFT 的设计准则是非自治型, 它的所有规定, 都必须从 DFS.

来推导，~~再除于~~不再取固定区间，所以，DFT的性质完全需由 DFS导出。

$$\text{注意 } ((-1)_3 = (-3+2))_3 = 2.$$



详细性质请翻书，且不有兴趣我也想整理下这些算子(变换)的计算共同点，之所以说鼻子，是因为在更多方面相似。

9. 将计算复杂度降低的底向 DFT  $\rightarrow$  FFT Compute.

Divide And Conquer 分治法

A. 按时间抽取的 FFT.

书中给出了一种 ~~直接~~ 使用递归系统推导 FFT 的 method，本人并不喜欢这种推导方式，认为这样推导不够统一和简洁，所以不从 System 推导，而是直接关注于 Single 的推导，类似于在 Matlab 中发现 Divide and Conquer 方法。

直接从最基础的计算公式入手：

$$\begin{aligned}
 \text{Divide} \quad X[k] &= \sum_{n=0}^{N-1} x[n] W_N^{kn} \\
 &= \sum_{n=0}^{\frac{N}{2}-1} x[2n] W_N^{kn} + \sum_{n=0}^{\frac{N}{2}} x[2n+1] W_N^{k(2n+1)} \quad \text{即 } 1/N\text{-point DFT.} \\
 e^{-j\frac{2\pi}{N}kn} &= e^{-j\frac{\pi}{2}kn} \\
 &= \sum_{n=0}^{\frac{N}{2}-1} x[2n] W_N^{kn} + W_N^{\frac{N}{2}} \sum_{n=0}^{\frac{N}{2}} x[2n+1] W_N^{kn} \quad \text{即 } \frac{N}{2}\text{-point DFT.} \\
 \text{Conquer.} \quad &= \sum_{n=0}^{\frac{N}{2}-1} (x[2n] + W_N^{\frac{N}{2}} x[2n+1]) W_N^{kn}
 \end{aligned}$$

但是，这样并没有将计算复杂度降到最低， $W_N$  的性质还未考虑！

用  $(T-1)$  式，必须限制脑子禁锢于周期性 (五年阅读与理解这个对称性)。

代表两个点 (全频点),

$$\text{将 } T-1 \text{ 变为 } X[k] = \sum_{n=0}^{N-1} x[2n] W_N^{kn} + W_N^k \sum_{n=0}^{N-1} x[2n+1] W_N^{kn}$$

$X[k]$  有  $N$  个 point, 而两个变换只有  $\frac{N}{2}$  个 point, 在  $(\frac{N}{2}, N)$  prepoint 时, 还要考虑  $W_N^{kn}$  的周期性, 即:

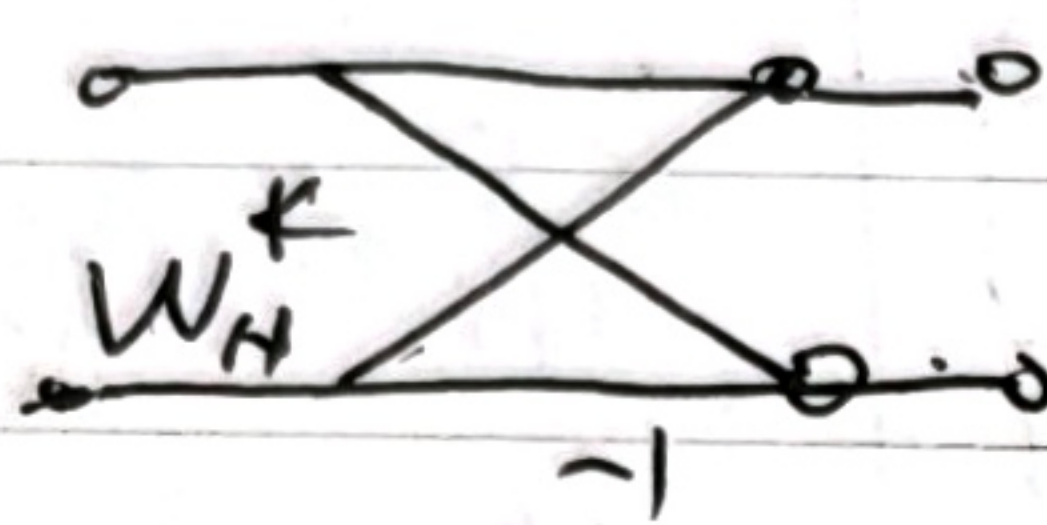
$$X[k + \frac{N}{2}] = \sum_{n=0}^{N-1} x[2n] W_N^{kn} - W_N^k \sum_{n=0}^{N-1} x[2n+1] W_N^{kn}$$

这样, 就不必利用周期性 (其实在用), 直接输出结果! (见示意图),

$$X[k] = \sum_{n=0}^{N-1} x[2n] W_N^{kn} + W_N^k \sum_{n=0}^{N-1} x[2n+1] W_N^{kn}$$

$$X[k + \frac{N}{2}] = \sum_{n=0}^{N-1} x[2n] W_N^{kn} - W_N^k \sum_{n=0}^{N-1} x[2n+1] W_N^{kn}$$

基本单元,



, 仔细观察下面的讨论.

## B. 按频率抽取 FFT.

按 Boolean 代码的阅读, 时间抽取呈子留转, 频率抽取就是反置转.

i) 偶数频点,

### ① 直接了当 Math 推导

$$X[2k] = \sum_{n=0}^{N-1} x[n] W_N^{2kn}$$

$$\ll (x[n], x[n + \frac{N}{2}]) \gg \text{对称分} = \sum_{n=0}^{\frac{N}{2}-1} x[n] W_N^{kn} + \sum_{n=0}^{\frac{N}{2}-1} x[n] W_N^{kn}$$

$$\text{拆分} = \sum_{n=0}^{\frac{N}{2}-1} x[n] W_N^{kn} + \sum_{n=0}^{\frac{N}{2}-1} x[n + \frac{N}{2}] W_N^{kn}$$

$$\text{合并} = \sum_{n=0}^{\frac{N}{2}-1} (x[n] + x[n + \frac{N}{2}]) W_N^{kn}$$

### ② 采样角度.

前一小节 (8.) 简单考虑了 DFT 与 DTFT 的关系, DFT 由  $W_N^{kn}$  为基底时, 为  $\frac{N}{2}$  K 长度采样, 时域为周期延拓, 若  $X[2k]$ , 基底  $W_N^{2kn} \rightarrow W_N^{kn}$ , 则频率  $\frac{N}{2}$  K 长度采样, 时域为周期延拓, 因为 DFT 为离散  $W_N^{kn}$  所以关注  $T_0, \frac{N}{2}-1$  序列,  $x[n]$  为  $N$  周期序列, 可手画图,  $x[n]$  为全周期延拓后, 有  $x[n + \frac{N}{2}] = x[n] + x[n + \frac{N}{2}]$ ,  $n \in [0, \frac{N}{2}-1]$ .

找到了对应  $x[2k]$  的  $x[n] \equiv x[n] + x[n + \frac{N}{2}]$ .

$$\text{于是 } X[2k] = \sum_{n=0}^{\frac{N}{2}-1} (x[n] + x[n + \frac{N}{2}]) W_N^{kn} = \underbrace{\text{DFT}_{\frac{N}{2}}}_{\text{DFT 矩子}} \{x[n] + x[n + \frac{N}{2}]\}$$

## ii) 奇数频点

### ① Murch 法

$$X[2k+1] = \sum_{n=0}^{N-1} x[n] W_N^{(2k+1)n}$$

$$= \sum_{n=0}^{N-1} (x[n] W_n^n) W_N^{2kn} = \sum_{n=0}^{N-1} (x[n] W_n^n) W_2^{kn}$$

$$\text{Dif} = \sum_{n=0}^{N-1} (x[n] W_n^n) W_2^{kn} + \sum_{n=\frac{N}{2}}^{N-1} (x[n] W_n^n) W_2^{kn}$$

$$\text{换元} = \sum_{n=0}^{\frac{N}{2}-1} (x[n] W_n^n) W_2^{kn} + \sum_{n=0}^{\frac{N}{2}-1} (x[n+\frac{N}{2}] W_N^{n+\frac{N}{2}}) W_2^{kn}$$

$$\text{Computer} = \sum_{n=0}^{\frac{N}{2}-1} (x[n] W_n^n - x[n+\frac{N}{2}] W_N^{n+\frac{N}{2}}) W_2^{kn}$$

$$= \sum_{n=0}^{\frac{N}{2}-1} [(x[n] - x[n+\frac{N}{2}]) W_n^n] W_2^{kn}$$

$$= \text{DFT}_{\frac{N}{2}} \{ (x[n] - x[n+\frac{N}{2}]) W_n^n \}.$$

### ② 子位置法

$$X[2k] = \text{DFT}_{\frac{N}{2}} \{ x[n] + x[n+\frac{N}{2}] \}.$$

$$X[k+1] = \sum_n x[n] W_N^{kn} W_n^n = \sum_n (x[n] W_n^n) W_N^{kn},$$

$$X[2k+1] \xrightarrow{\text{DFT}} \underbrace{x[n]}_{n=0} W_N^{kn}$$

$$x[n] = x[n] + x[n+\frac{N}{2}]$$

$$X[2k+1] = \text{DFT}_{\frac{N}{2}} \{ x[n] W_N^{kn} + x[n+\frac{N}{2}] W_N^{n+\frac{N}{2}} \}.$$

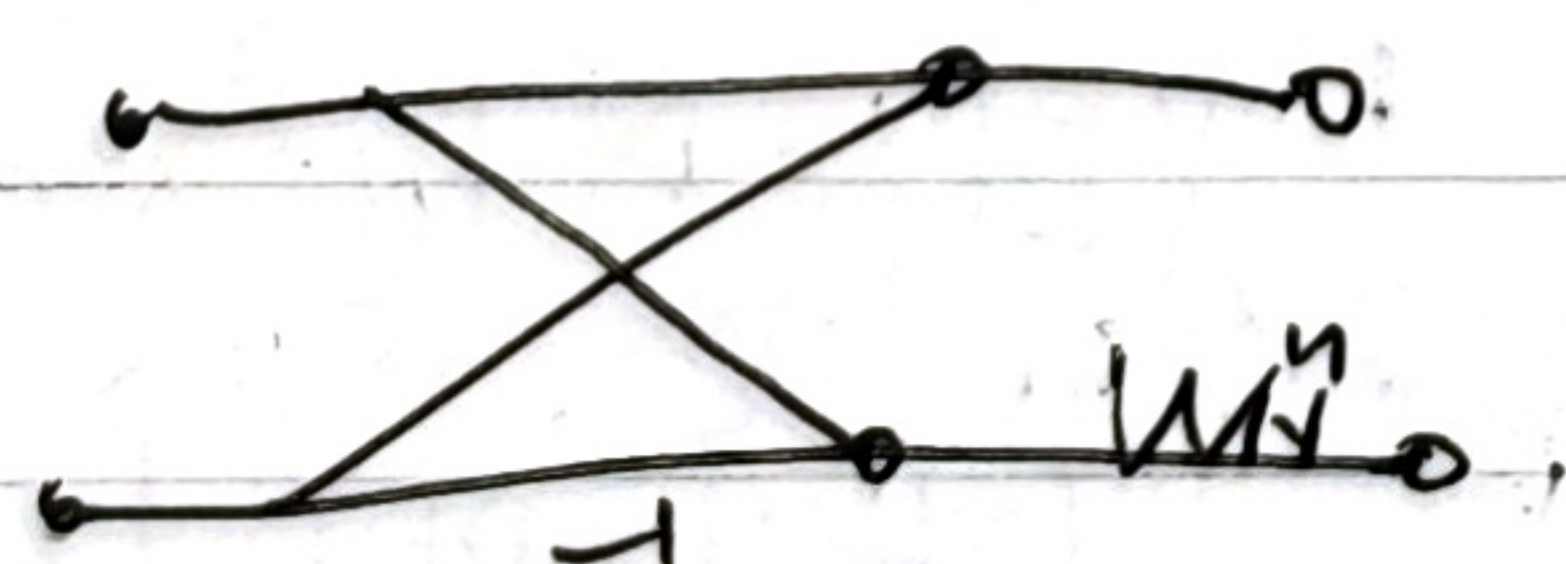
$$= \text{DFT}_{\frac{N}{2}} \{ (x[n] - x[n+\frac{N}{2}]) W_n^n \}.$$

如此，我们分别从奇数频点，偶数频点，直至推导出的方法推导了奇数频点的FFT算法，简洁起来。

$$X[2k] = \sum_n (x[n] + x[n+\frac{N}{2}]) W_N^{kn} = \text{DFT}_{\frac{N}{2}} \{ x[n] + x[n+\frac{N}{2}] \}.$$

$$X[2k+1] = \sum_n [(x[n] - x[n+\frac{N}{2}]) W_N^{kn}] W_n^n = \text{DFT}_{\frac{N}{2}} \{ (x[n] - x[n+\frac{N}{2}]) W_n^n \}.$$

基单元



### C. 从图示以及单元角度分析两种经典FFT

从最小单元( $N=2$ )入手，考虑两种FFT代表什么意义。

$$\text{f抽取 } X[k] = X[0] + W_N^k X[1] \Rightarrow \begin{cases} X[0] = X[0] + X[1] \\ X[1] = X[0] - X[1]. \end{cases}$$

即  $X[0] = X[0] + W_N^0 X[1]$ , 又即，最小单元直接成了DFT变换。

$$\begin{aligned} \text{f抽取 } X[k] &= X[0] = X[0] + X[1], = \text{DFT}_{\frac{N}{2}} \{ X[n] + X[n+1] \} \\ X[2k+1] &= X[1] = X[0] - X[1], = \text{DFT}_{\frac{N}{2}} \{ (X[n] - X[n+1]) W_N^0 \}. \end{aligned} \quad (f-1)$$

直观看差异不大，但是如果用另一种表示，好像，有一个奇怪的东西出现。

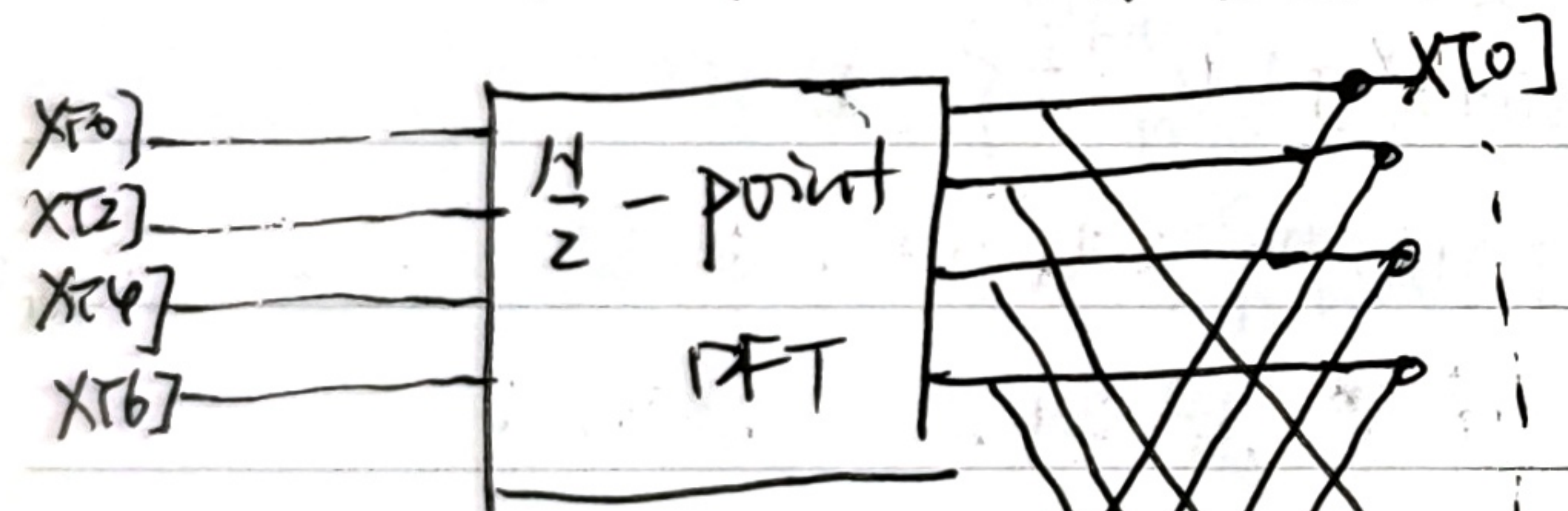
$$\text{DFT}_{\frac{N}{2}} \{ X[n] \} = X[n].$$

若从MATH推导，DFT<sub>2</sub>(X[n]) =  $\sum_{n=0}^{N-1} X[n] W_N^{kn}$  (有向量)

问：为什么你想要变换基底？  $X[0] = X[0] - X[1]$ !

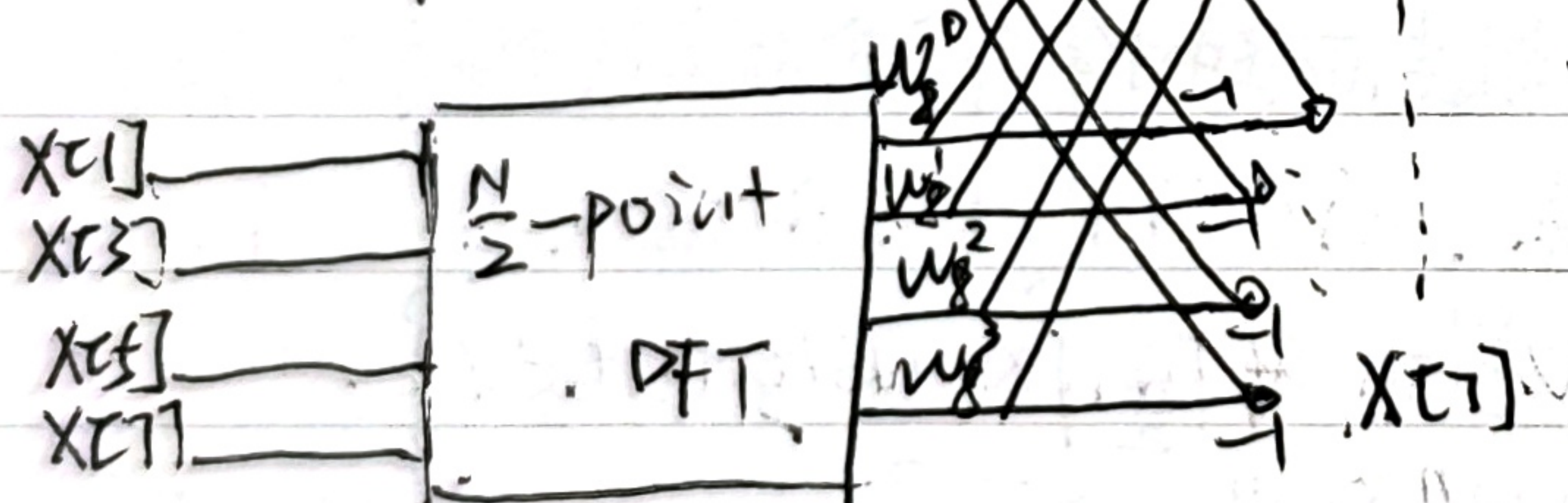
出现(f-1)的原因，仅仅是由于 DFT<sub>2</sub> 是一个线性关系，要准确的说，不是算子，是因为 DFT<sub>2</sub> 不是不变算子， $X[n]$  不断变化但公，到达了  $X[k]$  的变换。

下面列举两种 8 点蝶形图。



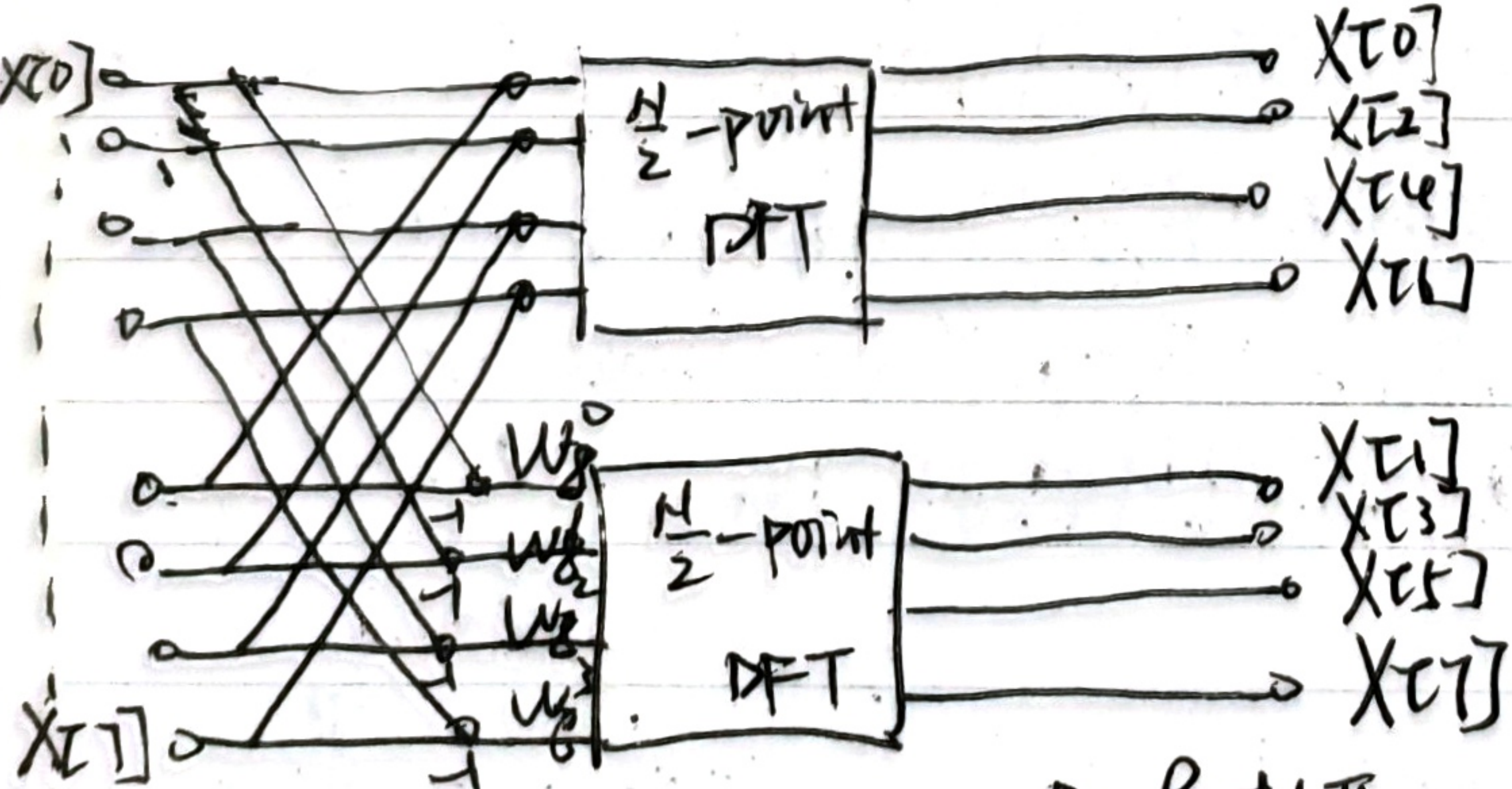
$$\begin{aligned} X[k] &= \sum_{n=0}^{N-1} X[2n] W_N^{kn} - W_N^k \sum_{n=0}^{N-1} X[2n+1] W_N^{kn} \\ &= \underline{X_0[k]} - W_N^k \underline{X_1[k]}. \end{aligned}$$

只取半个.



可以发现，按 time 抽取，结果是 DFT 的线性组合，在最左端的  $N=2$  单元已完成时域到 f 域的转变。

按 time 抽取：



$$X[2k] = \text{DFT}_{\frac{N}{2}} \{ X[n] + X[n + \frac{N}{2}] \}.$$

$$X[2k+1] = \text{DFT}_{\frac{N}{2}} \{ (X[n] - X[n + \frac{N}{2}]) W_N^k \}$$

可以发现，按 f 抽取，是 Inverse-DFT 的线性组合，是自变量的线性组合，直到最左端的  $N=2$  单元，才完成了时域到 f 域的转变。

按 f 抽取

f 域的转变

DFT 的线性组合  $\longleftrightarrow$  时域的线性组合 DFT.

## 10. 初次 DFT 谱分析

DFT 谱分析步骤:

$x_c(t)$  真实信号



$x_{Baudlimit}(t)$  域有限信号



$x[n]$

①  $\otimes \leftarrow w[n]$  加窗

$x_{time limit}[n]$  域有限信号

满足 DFT 条件

频率发生混叠，无法分辨率，总结

加窗影响（对频域）

② 补零



DFT

$X[k]$

频率分辨率相互影响，泄漏

即

频率不能分辨率，振幅也相互影响

1. 分辨率降低 2. 泄漏

③ 补零

对  $x[n]$  进行补零（其实是  $x_{time limit}[n]$ ，这是字幕方块），相当于时域延长周期，进行周期延拓，（N个），那么对应频域就是频域过采样 ( $f_s = \frac{2\pi}{N} \downarrow$ )，那么可以更直观的恢复其 DTFT。

这里对分辨率率的考虑，类比为抽样，加窗，相当于干涉，已经决定了底放的色散情况 (DTFT)，而无论如何补零，只相当于小孔的变量系数，只影响色散内的情况，最好的效果是重现色散，没有多的信息，也不可能有多的信息，但合理时域补零（频域过采样）可以使得 FT 线性内抽出精确的 DTFT。

$$\text{③ } k \rightarrow \omega \rightarrow \Omega \quad \begin{cases} \omega = \Omega T, \\ \text{抽样频率} \end{cases}$$

$$\Rightarrow \text{而频谱归一化} \quad \Omega = \frac{2\pi}{NT} k = 2\pi \cdot \frac{f_s}{N} k$$

11. 所有的变换都在做展开和内插。

麦陈友发的《数字信号处理原理及应用》启发。

在 DFT 章节中，作者以插值  $\Leftrightarrow$  展开的角频阐述了  $X(z) X(e^{jw}) X(k)$  之间的内插关系，内插基函数是只在对应点有值，在这点之外为 0 的函数，确保了子带性以及函数的复原。内插基函数的推导有以下步骤，用  $X(z)$  以长域基底（离域）展开为例， $Z \Leftrightarrow$  DFT。

$$X(z) = Z[X[n]] = \sum_{n=0}^{\infty} X[n] z^{-n}.$$

↑ 只需用 IDFT 替换其即可。

在连续和离散之间进行内插，需对为黎曼积分进行变形。

$$X(j\omega) = \int_{-\infty}^{+\infty} X(t) e^{-j\omega t} dt = \sum_{n=-\infty}^{\infty} X(nT) e^{-j\omega nT} \cdot T.$$

再使用 IDFT 代入。

一个有趣的发现，上述公式有

$$\begin{aligned} X(j\omega) &= X(jk\omega_0) = T \sum_{n=-\infty}^{+\infty} X(nT) e^{-jk\omega_0 n} \\ &= T \sum_{n=0}^{\infty} X[n] e^{-jk\omega_0 n} \\ &= T X(e^{jk\omega_0}). \end{aligned}$$

这是一种很新颖理解采样方式，用无限多长方形来面积拟合积分，竟能对应采样变换的能量守恒，以前想获得  $T$ ，只能一步一步推导。

这些引起我的两个思考，一个思考无需赘述，另一个需要后续研究一下：

1. 一个函数可按不同基底展开，从而获得不同的意义和结果
2. 变换之间的能量关系，不同域的幅值究竟有什么关系。

对数据的新理解，无非就是一种波子分解，所有参于项的自变量的和子项消去积分变量，留下自变量，以量都呈如此。

$$H(e^{jk\omega}) = H_0(e^{jk\omega}) \oplus W(e^{jk\omega}).$$

$$= \frac{1}{2} \int_{-\infty}^{+\infty} H_0(e^{j\omega}) W\left[e^{j\omega - jk\omega}\right] d\omega$$

$j\omega - jk\omega = j\omega_0 = \omega_0$

## 12. 三种经典采样方法

< 周期采样 >

< 自然采样 >

又称为 脉冲采样, 时域上 只留下冲量.  
频域上其系数有

$$Y(j\omega) = 2\pi \frac{\sin(\omega T)}{T} X(j(\omega - k\omega_0)).$$

可见, 每一个延时的周期都被 Sinc 因子给调制加权了, 重建的时候把这个因子乘回来就好.

< 平顶采样 >

自然采样对化, 一个平底一个冲量, 这种采样很接近 A/D 中的采样.

时域: (冲量) 再取差积

$$\text{频域有: } Y(j\omega) = 2 \frac{\sin(\omega T)}{\omega T} X(j(\omega - k\omega_0)).$$

可见,  $X(j\omega)$  的每一处都被加权了, 变故已经不含有低的重故, 重构需要构建这个因子相关的低通滤波器.

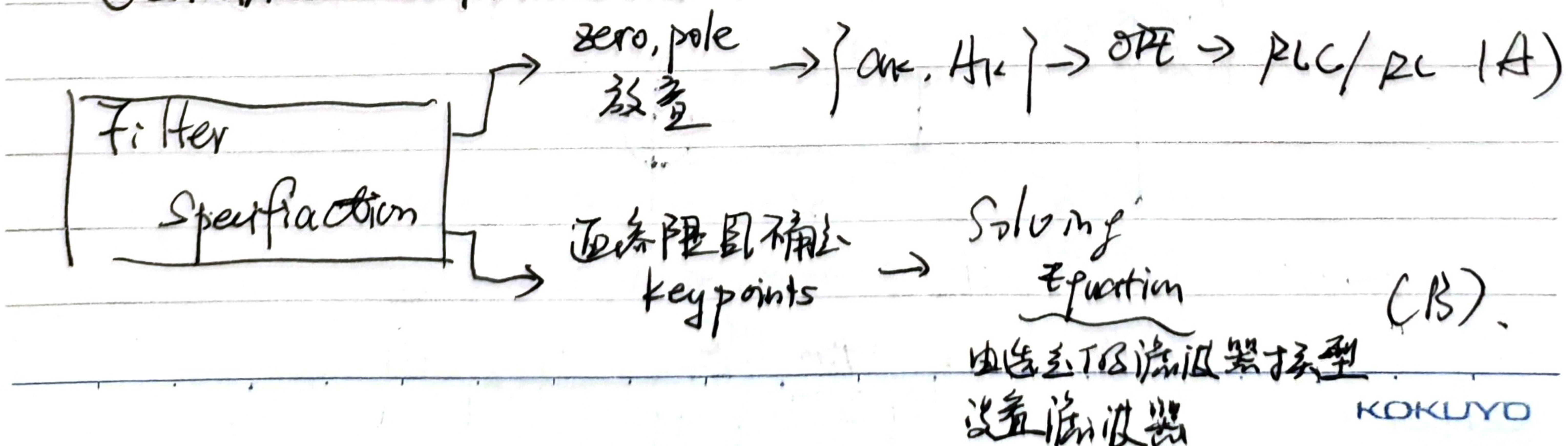
显而易见, 如果直接使用平顶采样信号, 高频分量较少很多, 但一般不会这样用. (孔径效应).

使用采样保持电路可以轻易的完成该采样.

## 13. 间接法设计 IIR 滤波器

所谓间接法设计 IIR 滤波器, 就是将离散指标转为连续指标, 再由连续指标设计连续滤波器, 再通过  $S \rightarrow Z$  变换方法映射到离散.

① 连续滤波器设计方法. (模拟)



(A) 这是一种完全主观的设置方法，上下限都不同，可设计出比较精确的而这些精妙的我们已经有现成模板，且前人总结的经验，有这些，我们根据具体目标不确定滤波器参考即可。(B).

例如巴特沃斯滤波器。

$$|H_c(j\omega)|^2 = \frac{1}{1 + (\frac{\omega}{\omega_c})^{2N}}$$

其中， $\omega_c$  为截止频率，N 为阶数，有滤波指标，便可行。

②  $S \rightarrow Z$ ,  $\omega \rightarrow w$  变换方式。

a) 频率响应不变法。

解：对连续域采样。

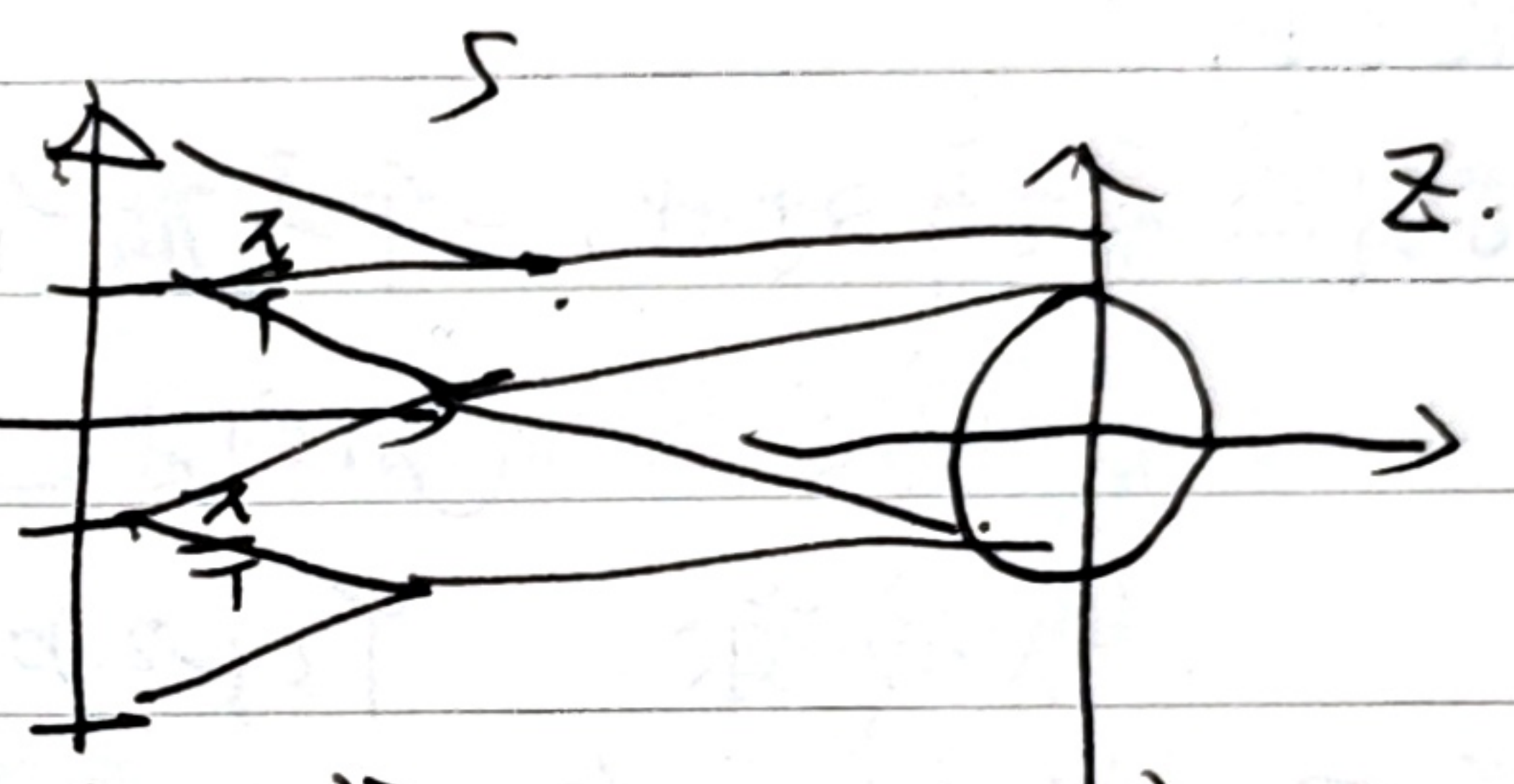
步驟： $Z = e^{sT}$  映射，但是

每个  $\frac{\Delta s}{2}$  区间都映射到

单位圆（这样就不妥，应是整个 Z 域），这也是混叠的根本。

变换式 }  $h[n] = \Delta h_c(nT) \Rightarrow H(e^{jw}) = \frac{1}{T} H_c(j\omega)$

$$Z = e^{sT} \Rightarrow w = j\omega T$$



虽说  $H(e^{jw}) = \frac{1}{T} H_c(j\omega)$ ，但混叠否，或者，滤波器又无关。

步骤：

$$H_c(s) = \frac{1}{s} \frac{AK}{s - s_k}$$

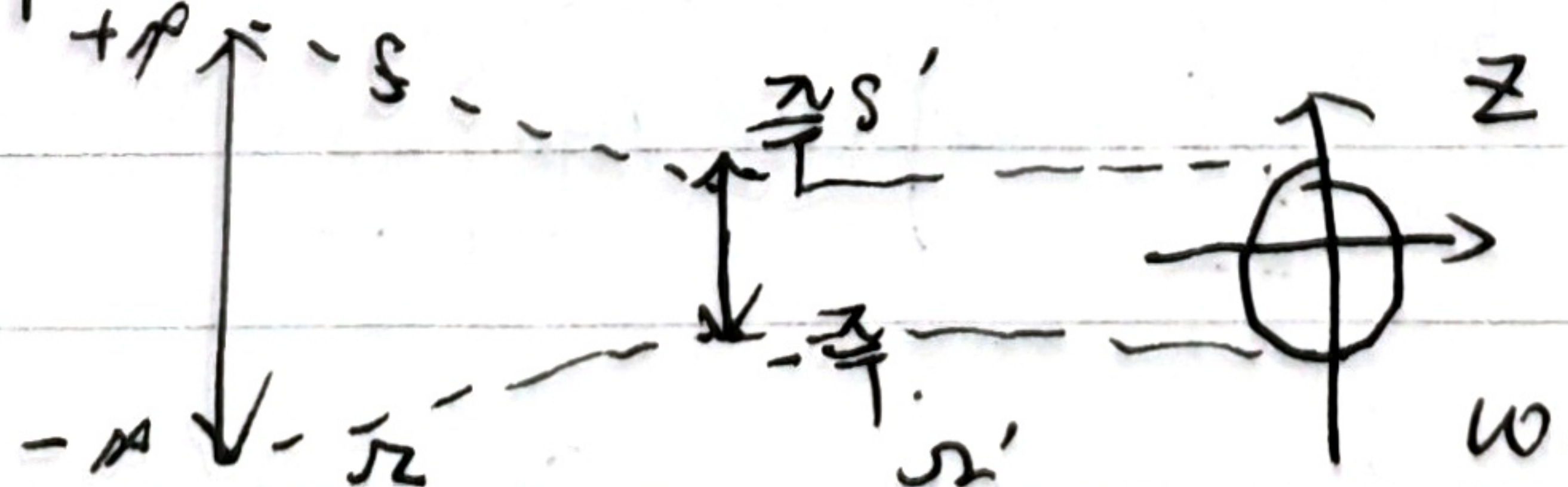
但是  $s$  一般取 T.

$$\begin{array}{c} \downarrow \\ h_c(t) \rightarrow h[n] \end{array}$$

$$H(z) = \frac{1}{T} \frac{AK}{1 - e^{j\omega T}}$$

b) 双线性变换法。

解决 a) 方法多对一映射关系，将 S 域泛函再映射。



$$s \rightarrow s' : \text{注意到 } \tan \frac{\pi}{2} \rightarrow +\infty, \tan(-\frac{\pi}{2}) \rightarrow -\infty,$$

$$\text{构造 } \omega = \tan \frac{\pi s}{2}.$$

$s' \rightarrow z: j\omega$  一样, 传递映射,  $\omega = jzT$ .

$$s \leftrightarrow z: \quad \left. \begin{array}{l} z = \tan \frac{\omega}{2} \\ \omega = 2 \arctan z \end{array} \right\}$$

$$z = \tan \frac{\omega}{2}$$

$$\omega = 2 \arctan z$$

使用欧拉公式展开再推导有,  $jz = \frac{1-e^{-j\omega}}{1+e^{j\omega}}$ .

$$z = \frac{1-e^{-j\omega}}{1+e^{j\omega}}$$

带入换公式, 但我们经常用 ~~直接~~, 所以哪来.

$$z = \tan \frac{\omega}{2} \xrightarrow{\omega \rightarrow 0}, z = \frac{\omega}{2}$$

根据经典传递矩阵,  $\omega = \omega T$ .

$$\text{那么 } z = \frac{\omega}{2} \omega, \omega = \frac{z}{\frac{\omega}{2}}$$

那么有,  $\omega = \frac{2}{T} \tan \frac{\omega}{2}$ .

变换式

$$\left. \begin{array}{l} \omega = \frac{2}{T} \tan \frac{\omega}{2}, \quad \omega = 2 \arctan \frac{\omega T}{2} \\ z = \frac{2}{T} \frac{1-e^{-j\omega}}{1+e^{j\omega}} \end{array} \right\}$$

可以好快直接取幅值, 但传递相位不行保留相位非常失真.

### ③ 系统作用与黑匣子比较

子系统的作用力学, 没有任何作用,  $T$  没有任何作用.

a) 对于响应不变子系统取  $T$ , 若有一设计指标, (特沃斯).

$$0.8P_{H_2} \leq |H_C(e^{j\omega})| \leq 1, \quad 0 \leq \omega \leq 0.2\pi$$

$$\Rightarrow 0.8P_{H_2} \leq |H_C(e^{j\omega})| \leq 1, \quad 0 \leq \omega \leq \frac{0.2\pi}{T}$$

求解得:  $|H_C(j\omega)|^2 = \frac{1}{1 + \left(\frac{0.2\pi}{T\omega}\right)^{2N}}$

零极点由幅值决定

子系统的幅值不能.

那么任何  $T$  的副极点  $\omega_N$  和  $T\omega_c$  都是相同的, 这意味着,  $|H(j\omega)|^2$

相同, 零极点相同, 零极点相同还有其它子系统什么事, 带一个  $H(z)$ .

$H(z)$  完全由 zero-pole 不确定.

b) 对于双线性模型问题,  $\omega = 2 \tan \frac{\omega}{2}$ ,

$$0.8P_{H_2} \leq |H_C(e^{j\omega})| \leq 1, \quad 0 \leq \omega \leq 2 \tan \frac{0.2\pi}{2}$$

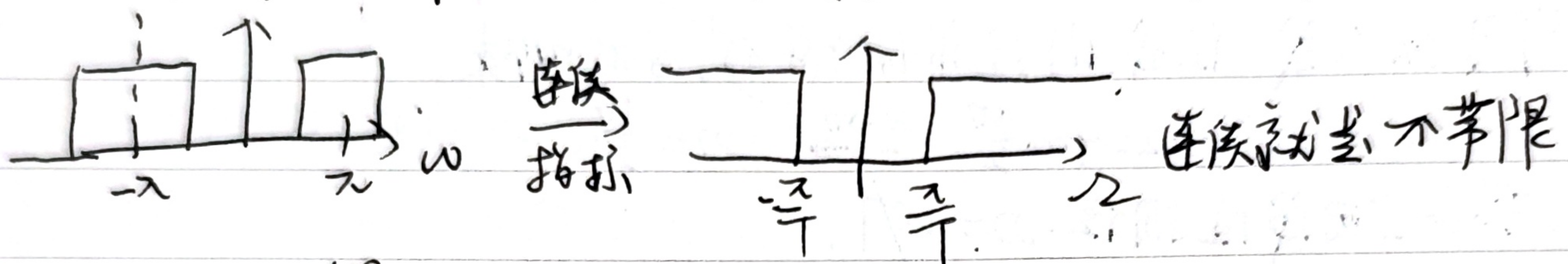
$$|H_C(j\omega)|^2 = \frac{1}{1 + \left(\frac{2 \tan \frac{\omega}{2}}{\frac{0.2\pi}{2}}\right)^{2N}}$$

取样频率与采样时间成正比，采样点不变。

参数对滤波器影响……吗？

消噪滤波：T小，T大？？(响应不变)

忽略了，连接 filter 指标由离散 filter 确定，即  $\omega = \frac{\pi}{T}$ ，  
采样率才能采样不混叠。当采样滤波器没有任何关系，如我离散高通。



$\omega = \frac{\pi}{T}$ ， $T$ 小了， $\omega$ 就大， $T$ 大了， $\omega$ 就小， $T$ 不可控制任何混  
叠，混叠只与原始指标有关，所以：

响应不变方法只适合低通设计。

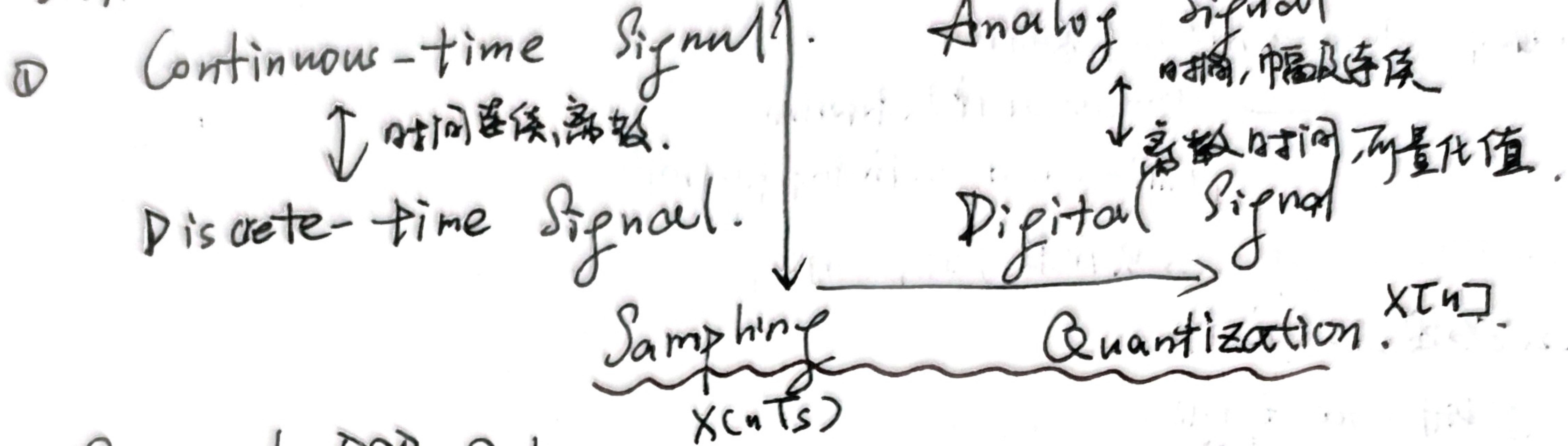
双线性方法适合多段性设计，如高通，低通，带通。  
另外，多提一句，两种转换方式不影响滤波器的系统因果，该什么样，  
还是什么样。

还有通过它有低通到高通的频率变换或到其他的低通，高通，  
带通，带阻滤波器。

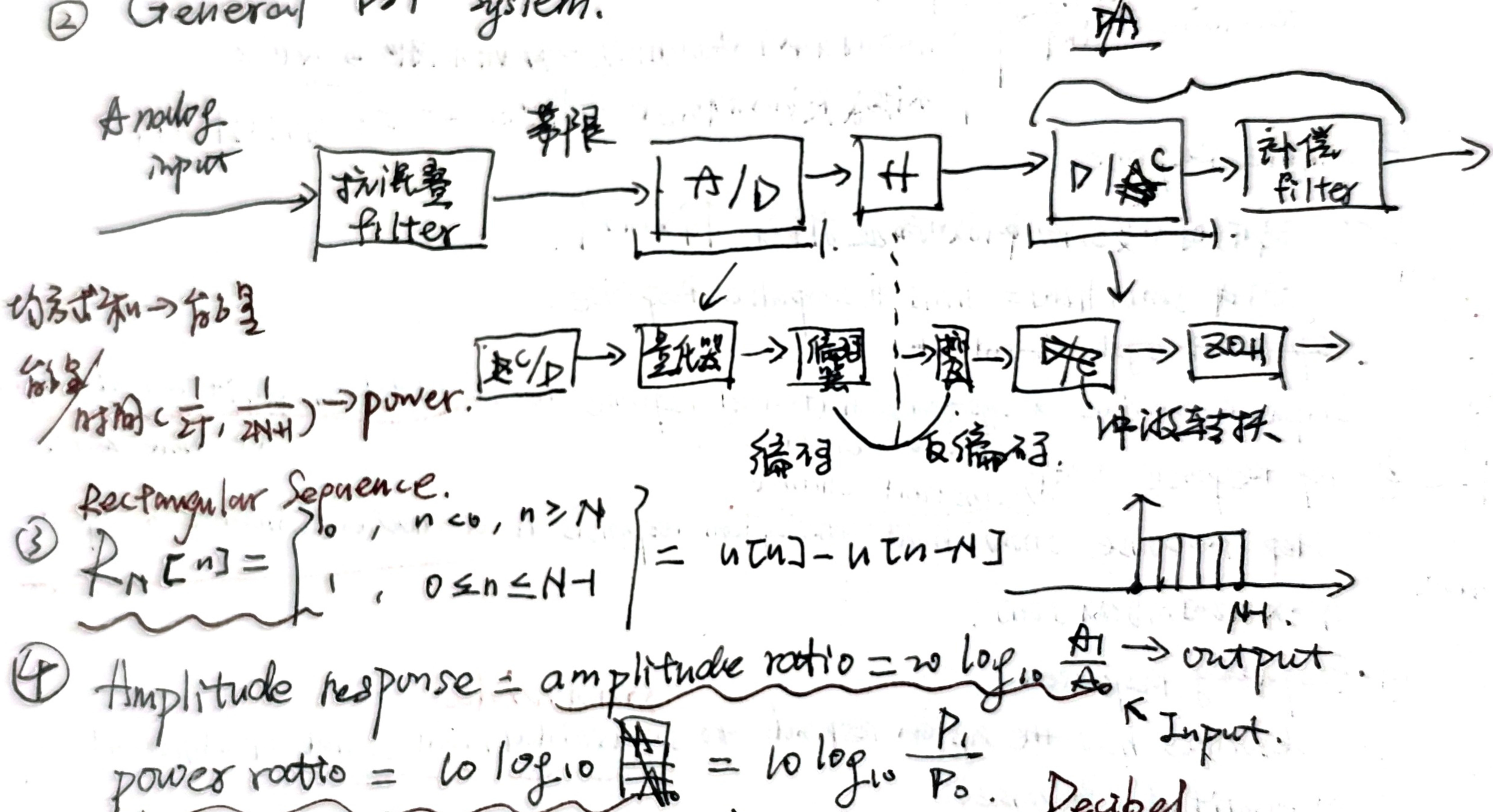
# Digital Signal Processing. 课内笔记.

## Block 1. DSP Basics.

### <1. Introduction>



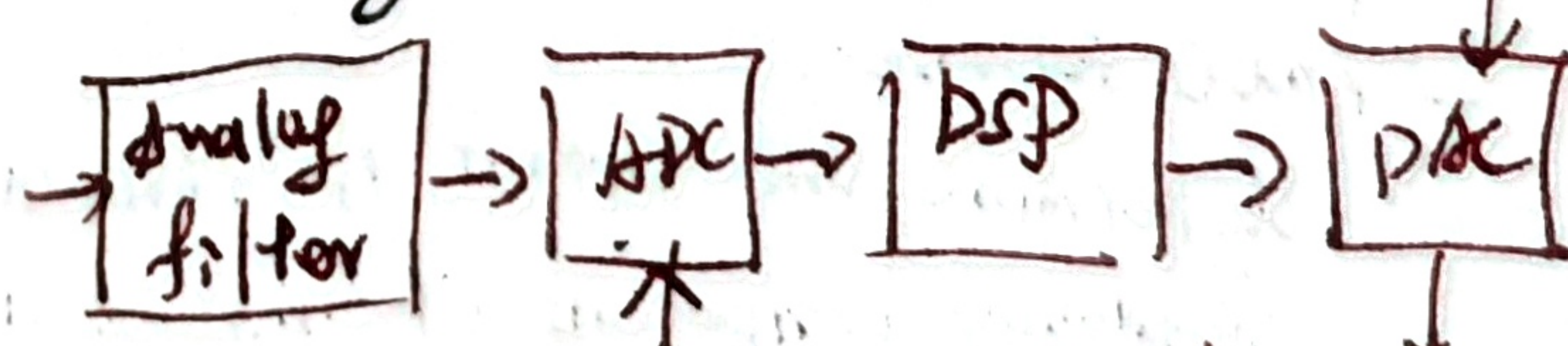
### ② General DSP System.



### <2. Sampling and Quantization> Digitisation.

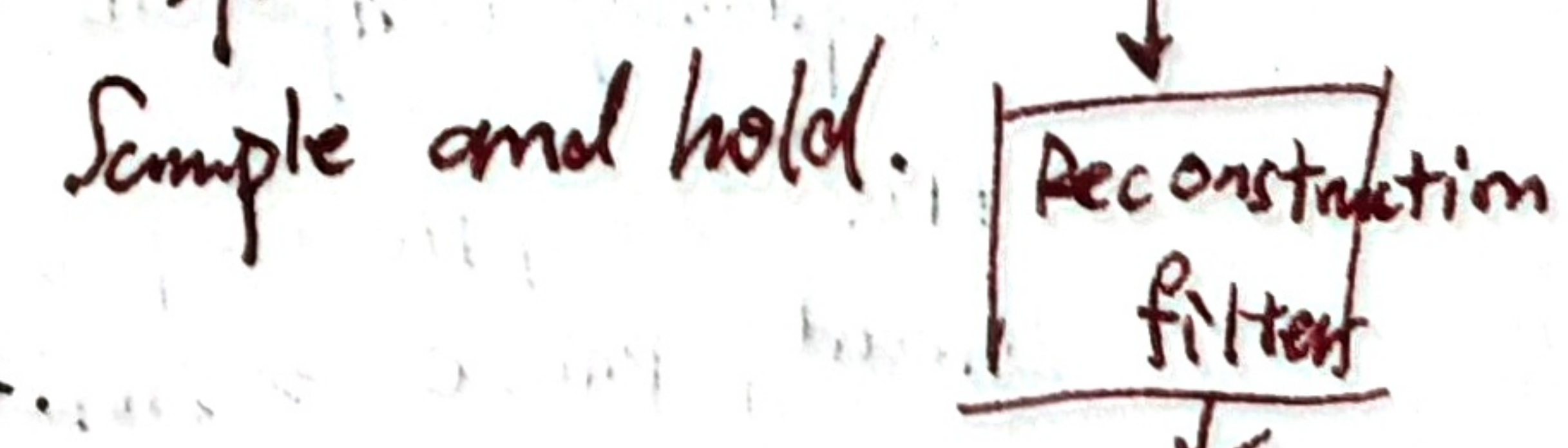
#### ① 三种 Sampling.

A. 理想 Impulse Sampling.



B. Natural Sampling 又称曲顶采样.

与周期脉冲信号捕获，易被噪声污染.



C. Flat-top Sampling.

通过平坦脉冲相乘后，再与原脉冲卷积.

Aperture effect 高频分量丢失 → Aperture error.

→ 通过调宽脉冲或使用 equalizer circuit 缓解.

很多方法：Sample and Hold circuit, 高分辨率量化, 低分辨率.

$$T_s + T_h = \frac{1}{f_s} + \frac{1}{f_h}$$

② 量化.

$$N \text{ 位数}, \delta = \frac{V_{\max} - V_{\min}}{2^N} = \frac{V_{\max} - V_{\min}}{2^N} \Rightarrow Q \alpha_0 = V_{\min} + \frac{\alpha}{2}$$

$$\alpha_n = V_{\min} + (n + \frac{1}{2}) \delta, n=0, \dots, C-1 \Rightarrow Q \alpha_0 = V_{\max} - \frac{\delta}{2}$$

量化误差差值的绝对值.

③ 采样和量化, ZOH 用于两个地方.

→ D/A, 输入为 数字信号? → PPT 上一章节的进阶部分.

→ A/D, 输入为 连续信号? → ZOH → DAC  
sample and hold ADC.  
还不是  $\leq$  而是  $<$ , 变异处可能混叠.

3. Aliasing.

① Nyquist frequency =  $\frac{f_s}{2}$  → Nyquist rate  $f_s$ .  
采样率应大于奈奎斯特率.

$f_n$  高于奈奎斯特率. 最低频率 (不等, 有一点).

② Undersampling → Aliasing  $f_a = f - n f_s$ , 信号中出现其它频率.

寻找混叠频率是一个优化问题:  $\min |nf_s - f|$  或  $\min |f - n f_s| = f_a$   
( $f$  指 signal 频率,  $f_s$  采样频率). s.t.  $n \geq 0$ .  $f$  混叠到  $f_a$ .

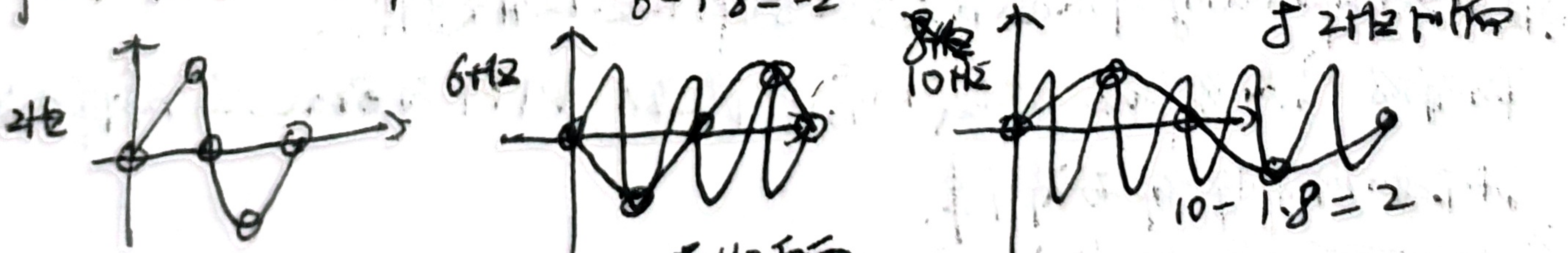
③ 那么, 如果检测频率被混叠, 是否可以反推原频率 (通过简单三角函数).

利用  $f_a = f - n f_s$ , 另一个优化问题  $f_a = f - n f_s, n \geq 0$

(必须同一拉伸).  $\min |f - n f_s|$  即在  $n$ , s.t.  $f_a = f - n f_s$   
Offset - 整数, 取之相反.

如果  $f_a$  是质数, 那么判断信号的相位变化, 反之信号完全相同.

例: 以 8Hz 采样, 6Hz 和 10Hz 被混叠到 2Hz. (sin 函数).



所以, 如果检测一些信号被混叠到  $f_a = \sin(2\pi f_a t)$ , 虽然可以检测原信号可能的频率, 但是其相位各不相同.

a input even flip in time version of itself → 单纯对称.

① 线性卷积结果对称 (身中的偶对称)  $\Leftrightarrow$  卷积的两个信号自身对称

② 高效的线性积.  $f[n]*f[n] = \sum_k f[k]f[n-k]$ . 将之理解为, 对称系数  $X+Y=n$ , 一类可以用表格表示出来, 注意表格横纵列的起始位置一定相同.

- 则可以用数组表示, 注意用  $N+1$  填充确保长度.

- 还可以用公式,

③ 圆周卷积  
序列长度必须通过补零达到相等，同周期才不相位，长度在运算不变。  
 $f[n] \otimes g[n] = \sum_{m=0}^N f[m-n]g[m]$   $\leftarrow$  原始信号， $\langle 1 \rangle_2 = 1, \langle 1 \rangle_2 = 1^{(-2+1)}$

- 循环矩阵，又称卷积的离阵  
离散的线性和圆周卷积矩阵形式都是反转移位相加，不同的就是  
圆周卷积矩阵有周期移位，而离散线性和矩阵无平移处理。

④ 使用 FFT 的圆周卷积代替线性卷积方法

Top line  $\rightarrow$  circular 循环  
Linear  $\rightarrow$  circular 圆周

重叠相加

重叠停留

DFT 中的方法是先对序列补 0 直至长度是 2 的幂，  
 $\hookrightarrow$  即该圆周卷积的长度为  $M+N-1$

## BLOCK 2. Transform Methods.

<1. 连续域变换> FS, CTFT, Laplace >单边

$$\text{sinc}(x) = \frac{\sin(x)}{x} \quad (\text{书中定义为此. 非归一化 sinc 函数})$$

$$由 x[n] = x[nT_s]$$

$$\text{拍立得信号} = x[n] \sum_{n=-\infty}^{\infty} \delta(n)$$

<2. 离散域变换> DTFT, Z, ROC

$$\text{① Z 变换的幅值表达式} \quad |X(z)| = \lim_{T \rightarrow \infty} |X(T)|.$$

$\hookrightarrow$  封对于  $x[n]=0, n < 0$  时成立

② 逆 Z 变换，只考查有双边式，注意过的是 ROC，系数展开。

<3. DFT>

$$⑥ k \rightarrow w \rightarrow \omega$$

$$\frac{2\pi}{N}k = w = \omega T, \quad k = \frac{wT}{2\pi} = \frac{\omega fNT}{2\pi} = NTf$$

$$f = \frac{k}{NT} = K \frac{1}{NT} = K \frac{f_s}{N}$$

$$\begin{bmatrix} 1 & 1 & 1 \\ 1 & W_3 & W_3^2 \\ 1 & W_3^2 & W_3^4 \end{bmatrix}$$

② 使用 zero-padding 可以提供更多的采样，但是没有更多信息。

所有的信息都被时域加窗所限制，DFT 的窗口已经无法满足需求，  
DFT 的采样都无所谓。

③ 对称性 (Periodicity) 和 (Symmetry)  $\hookrightarrow$  FFT 的窗口恒定。

④ 使用频域相乘算时域圆周卷积。

<4. FFT>

① ceil 表示，不足小于等于次方的最高整数， $\text{ceil}(\log_2 P) = 4$ .

用于确定 FFT 的次数。

$$\tilde{x} = (x[0] \pm W_N^k x[N/2+1])W_N^{kn}, \quad \begin{cases} X[k] = W_N^{-k} x[0] \\ X[k] = W_N^{-k} x[N/2+1] \end{cases}$$

$\{DFT\} x[n] + x[n+N/2]$  DIT  $\hookrightarrow$  先 DFT 再串行组合，输入 Bit-reversed 组合。

$\{DFT\} (x[n] - x[n+N/2])W_N^{kn}$  DIF  $\hookrightarrow$  先串行组合再 DFT，输出 Bit-reversed 组合。 $\Rightarrow A_C = 2 \log_2 N = N \lg N$

计算复杂度。 ~~2 加法, 1 乘法~~  $\log_2 N$  个乘法  $\frac{N}{2}$  个加法  $\Rightarrow m_C = \frac{N}{2} \log_2 N$

### Block 3. DSP system.

<1. DSP 系统性质>

Linear system  $\rightarrow$  {homogeneous  
additive}  $\Rightarrow$  superposition

Time-invariant System  $\rightarrow$  系统不变，输出相同时移。

Causal system  $\rightarrow$  不依赖未来时间

$\hookrightarrow$  Non-causal 依赖未来时间  
Anti-causal B. 依赖未来时间

Memoryless system  $\rightarrow$  只依赖于当前及过去

<2. 描述 LTI 系统>

① Difference Equation

recursive  $\xrightarrow{\text{递推}} \begin{cases} \text{线性} \\ n < 0 \text{ 时系统输出为 0 且因果} \rightarrow \text{初始松弛} \rightarrow \text{双边 Z} \\ \text{不满足初始松弛} \rightarrow \text{单边 Z} \end{cases}$   $\leftarrow$  二者时域性质不同

② Impulse Response.

$\xrightarrow{\delta[n]}$  针对时不变系统冲激响应推导  $\{T[x[n]]\}$ .

利用  $\delta[n] + h[n] = h[n]$  定义 Impulse Response.

represent system's output

Impulse provides a system's natural response to a sudden, unit magnitude input at time zero.

③ Step Response  $\xrightarrow{\text{sudden change}}$

$\xrightarrow{x[n]} \xrightarrow{\text{Step Response}} \text{Step response shows how the system responds to a sudden change in input.}$

$x[n], y[n], \delta[n]$ .

④ Frequency Response.

describes how the system responds to sinusoidal input signals of different frequencies.

a) Amplitude response.

$$|H(e^{j\omega})| = \sqrt{H(e^{j\omega})H^*(e^{j\omega})}, \quad \omega = 2\pi f = 2\pi \frac{f}{f_s} \rightarrow \text{normalized frequency}$$

b) Phase response.

determine the amount of time delay that the system introduces to different frequency components of the input signal.

$$H(e^{j\omega}) = |H(e^{j\omega})| e^{j\angle H(e^{j\omega})} \quad \angle H(e^{j\omega}) = \arctan \frac{\text{Im}(H(e^{j\omega}))}{\text{Re}(H(e^{j\omega}))}$$

Linear phase  $\rightarrow$  周期响应呈线性函数，斜率近似常数  $\rightarrow$  shape 不变。

⑤ Transfer Function.

$$\sum a_i y[m-i] = \sum b_j x[m-j] \Rightarrow \sum a_i z^{-i} Y(z) = \sum b_j z^{-j} X(z) \Rightarrow \sum a_i z^{-i}$$

$$H(z) = \frac{Y(z)}{X(z)} = \frac{\sum b_j z^{-j}}{\sum a_i z^{-i}} \Rightarrow \text{反推 Difference equation. (其系数即 } h[n])$$

但是若用部分分式展开即可，其头不用也。因为  $\frac{1+2z^{-1}+z^{-2}}{1+z^{-1}-\frac{3}{2}z^{-2}}$  可以直接反推。

### <3. Stability>

#### ① Poles and Zeros.

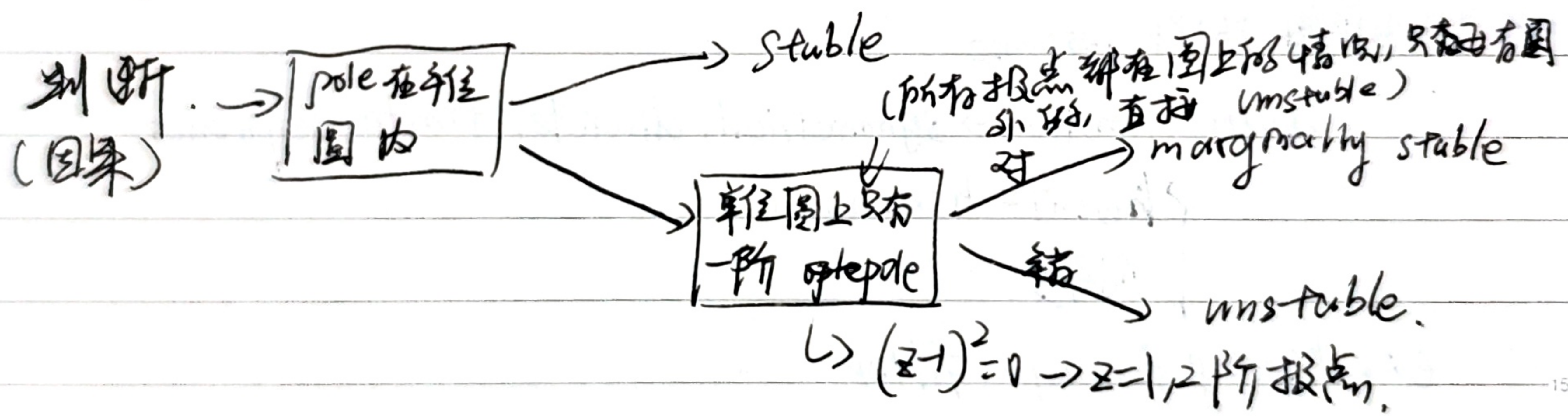
The location of zeros influences the system's response and the frequencies at which it attenuates or amplifies signals.

The location of poles affects the stability and dynamics of the system.

使用 z 变换分析 Transform function, 零极点 (0/x) 等效分析法。

#### ② Stability

Marginally stable system will neither return to equilibrium nor diverge but will either continue oscillating indefinitely with a constant amplitude or remain at a non-zero constant output in response to the disturbance.



### Block 4.

#### <1. 信号分离与引入>

信号分离 (signal separation), when a signal has been contaminated with noise.

信号恢复 (signal restoration), when a signal has been distorted in some way

#### ① 框图

$$\sum_i a_i y[n-i] = \sum_j b_j x[n-j], \text{ 一般用 } y[n] = -\sum_i a_i y[n-i] + \sum_j b_j x[n-j] \text{ 表示}.$$



#### ② Step Response

Setting Time: 从开始到在容限内到达的时间

Overshoot: 基本失真 of the information contained in the time domain.

Phase Linearity: symmetric

### ③ Frequency Response.

a) Amplitude Response } passband : pass, ripple.  
 transition band: narrow, fast roll-off  
 stopband: stop band attenuation.

### ④ 滤波器组合.

全通 (All pass) ( $x[n] * \delta[n]$ ) - Loss pass  $\rightarrow$  High-pass.

有 Loss pass 有 High pass, 可以设计 Band-pass, Band-stop.

### <2. FIR 滤波器设计>

所有 pole 都在原点, stability 有保证, 因带有 linear phase.

$\frac{\sin \omega_n}{\pi n} \rightarrow$  PPT 上定义的 sinc 函数.

将一个已知 Truncate  $\rightarrow$  introduce ripples and overshoots.

速度为有限 shift response

window function  $\rightarrow$  symmetrical, discrete, finite sequence

$$h_{w[n]} = h[n] \cdot w[n]$$

对称

Ex. Moving Average Filter

decrease the amplitude of the random noise, but reduce the sharpness of the edges.

在 PPT 中 Planning window: some smoothing

Hannning window: eliminate high frequency noises.

Rectangular  $\rightarrow$  abrupt truncation.

### <3. IIR 滤波器设计>

① IIR → 因为 feedback, 稳定性 infinite., non-linear phase response.

→ greater attenuation of frequency components, sharper frequency roll-offs, 等于, it FIR 4 倍.

(+) ↗	cheap, easy	Low computational complexity
		sharper frequency roll-offs
缺点 ↗	unstable	non-linear response.

② Bilinear Transform.

间接法, 高阻 → 低阻 → 等效.

$$H(z) = H(s) \Big| s = \frac{1-z^{-1}}{1+z^{-1}} \rightarrow \text{直接法, 由} \frac{1-z^{-1}}{1+z^{-1}} \text{的开环}$$

PPT 中 杂取 - 种 + 多出文献 (艺术) 传递函数双曲线

frequency warping  $\omega_c = \frac{\pi}{T} \tan \frac{\omega}{2} \cdot T$ .

effect:  $\omega_c \sim \omega$ ,  $\omega_c \sim \omega$ .

在设计指标时, 使用  $\omega_c = \frac{\pi}{T} \tan \frac{\omega}{2} \cdot T$  进行 pre-warp.

③ Butterworth Filter design. (低通).

~~$|H_a(\omega)| = \sqrt{1 + (\frac{\omega}{\omega_c})^{2N}}$~~ 

$$H_a(j\omega) = \frac{1}{\sqrt{1 + (\frac{\omega}{\omega_c})^{2N}}}$$

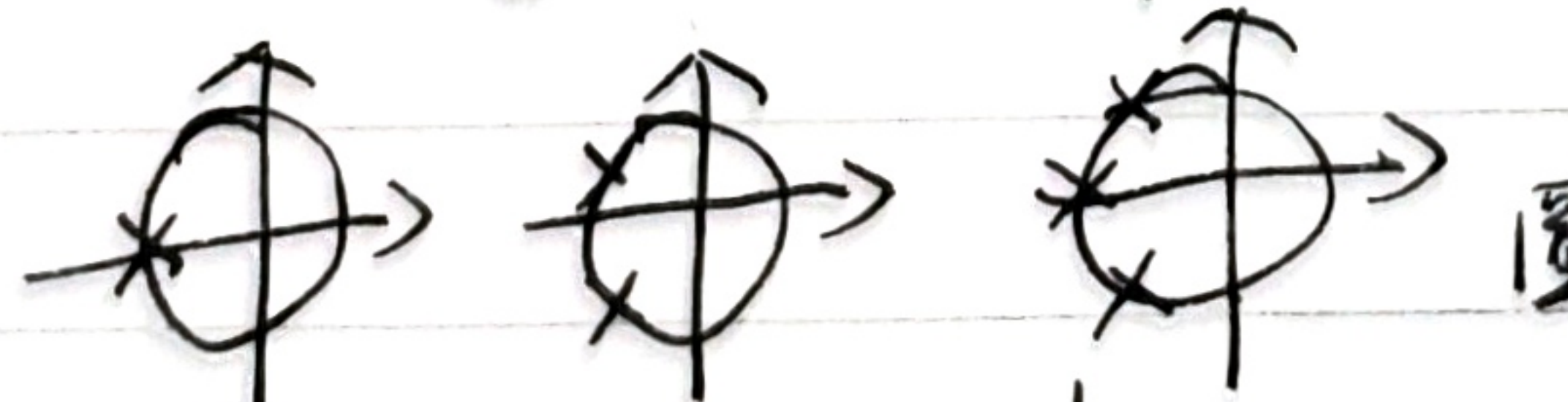
~~$H_a(j\omega) = \left( \frac{1}{\sqrt{1 + (\frac{\omega}{\omega_c})^{2N}}} \right)^2 = \frac{1}{1 + (\frac{\omega}{\omega_c})^{2N}}$~~ 

$$H_a(j\omega) = \frac{1}{1 + (\frac{\omega}{\omega_c})^{2N}}$$

高阶, steeper roll-off, but, phase distortion, unstable.

由  $1 + (\frac{\omega}{\omega_c})^{2N}$  设量有局,  $1 + (\frac{\omega}{\omega_c})^{2N} \Rightarrow 1 + (\frac{\omega}{j\omega_c})^{2N} = 0$ ,  $\omega_c = j\omega_c e^{\frac{j2k\pi+1}{2N}\pi}$ .

根轨迹法设计在单位圆上画出.



1-order.  $H(s) = \frac{1}{1 + \frac{s}{\omega_c}}$

3-order  $\frac{1}{(s+1)(s^2+s+1)}$ .

2-order  $H(s) = \frac{1}{(\frac{s}{\omega_c})^2 + \sqrt{2}(\frac{s}{\omega_c}) + 1}$ .

把 s 换成  $\frac{s}{\omega_c}$  就可以.

→ 本课将从单位圆上设计,  $\omega_c$  或  $\omega_c$  与 N 的设计, ? 自由设计? 找美.